

Аномальное уменьшение локального магнитного поля в диапазоне 25—40 К естественно объяснить возникновением слабой неколлинеарности магнитных моментов ионов Nd<sup>3+</sup>. Полученные результаты позволяют объяснить происхождение аномалий магнитной восприимчивости, которые наблюдались в работе [1]. Найденное значение температуры магнитного перехода хорошо согласуется со значением 112 К, полученным в работе [2].

При температуре 4.6 К магнитное сверхтонкое поле, квадрупольный сдвиг и изомерный сдвиг равны соответственно 219(1) кЭ, —0.09(3) мм/с и 1.97(3) мм/с. Градиент электрического поля в области ядра примесного атома аксиально-симметричен и должен иметь положительный знак. Для <sup>119</sup>Sn это соответствует отрицательной константе квадрупольного взаимодействия. В этом случае отрицательный знак квадрупольного сдвига означает, что при низких температурах магнитное сверхтонкое поле и магнитные моменты ионов Nd<sup>3+</sup> ориентированы вдоль гексагональной кристаллографической оси. Уменьшение магнитного поля в диапазоне 25—40 К соответствует отклонению моментов от этой оси на средний угол около 20°.

Аналогичные измерения, проведенные нами для других соединений R<sub>2</sub>In (R=Sm, Gd—Tm), показали, что во всех остальных случаях магнитные переходы при температуре Кюри являются непрерывными фазовыми переходами.

#### Список литературы

- [1] Gamari-Seale H., Anagnostopoulos T., Yakinthos J. K. // J. Appl. Phys. 1979. V. 50. N 1. P. 434—437.
- [2] Bazela W., Szutula A. // J. Less-Common Met. 1988. V. 138. N 1. P. 123—128.
- [3] McAlister S. P. // J. Phys. F. 1984. V. 14. N 5. P. 2167—2175.
- [4] Делягин Н. Н., Муджири Г. Т., Нестеров В. И., Рейман С. И. // ЖЭТФ. 1984. Т. 86. № 3. С. 1016—1025; Делягин Н. Н., Крылов В. И., Морева Н. И., Муджири Г. Т., Нестеров В. И., Рейман С. И. // ЖЭТФ. 1985. Т. 88. № 1. С. 300—308.

Московский государственный  
университет им. М. В. Ломоносова  
НИИЯФ  
Москва

Поступило в Редакцию  
20 февраля 1989 г.

УДК 535.375

Физика твердого тела, том 31, № 7, 1989  
Solid State Physics, vol. 31, № 7, 1989

#### СВЕРХПРОВОДИМОСТЬ И КОМБИНАЦИОННОЕ РАССЕЯНИЕ СВЕТА В ВИСМУТОВЫХ КРИСТАЛЛАХ (2112)

С. Дурчок,<sup>1</sup> М. Ф. Лимонов, Ю. Ф. Марков, М. Неврица,<sup>1</sup>  
Э. Поллерт,<sup>1</sup> А. Триска<sup>1</sup>

В настоящее время известны различные фазы висмутового семейства соединений на основе Bi—Sr—Ca—Cu—O, обладающие высокотемпературной сверхпроводимостью (ВТСП), причем наиболее исследованной является структура Bi<sub>2</sub>Sr<sub>2</sub>Ca<sub>1</sub>Cu<sub>2</sub>O<sub>8+x</sub> (2212). Спектры комбинационного рассеяния (СКР) этих кристаллов приведены в [1, 2]. Целью настоящей работы являлся синтез и исследование другого соединения — Bi<sub>2</sub>Sr<sub>1</sub>Ca<sub>1</sub>Cu<sub>2</sub>O<sub>7+x</sub> (2112), СКР которого ранее не изучались.

<sup>1</sup> Физический институт ЧСАН, г. Прага.

Кристаллы, близкие по химическому составу к идеальной структуре (2112), были получены методом плавления исходных компонент  $\text{Bi}_2\text{O}_3$ ,  $\text{CaCO}_3$ ,  $\text{SrCO}_3$  и  $\text{CuO}$  в соотношении 1 : 1.5 : 1.5 : 2. По данным рентгеновского микронализа, выполненного на приборе JEOL Superprobe-733, выращенные таким образом кристаллы имели близкую к искомой формулу  $\text{Bi}_{2.0 \pm 0.1} \text{Sr}_{1.2 \pm 0.1} \text{Ca}_{1.0 \pm 0.1} \text{Cu}_{1.7 \pm 0.1} \text{O}_{6.9+x}$ ,<sup>2</sup> где вариации отражают неоднородность состава в различных точках образца либо от образца к образцу [3].

В результате измерений магнитной восприимчивости и удельного сопротивления было установлено, что кристаллы (2112) обладают фазовым переходом в ВТСП состояния при  $T \approx 80$  К (рис. 1).

По предварительным рентгеноструктурным данным, наиболее вероятной является тетрагональная  $I4/mmm$  либо ромбическая  $Immm$  симметрия кристаллов (2112). Следует отметить, что не выработан однозначный подход и при анализе широко исследованного соединения (2212): например, в [1] СКР (2212) интерпретируются в предположении ромбической симметрии, а в [2] исходя из тетрагональной.

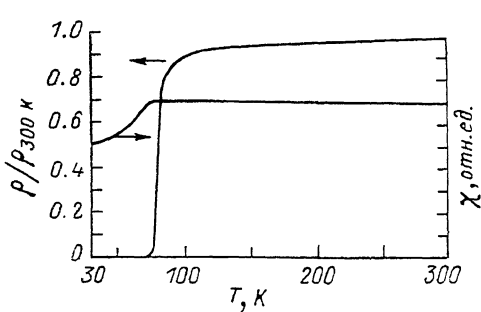


Рис. 1. Температурные зависимости удельного сопротивления  $\rho/\rho_{300}$  К и магнитной восприимчивости  $\chi$  кристаллов  $\text{Bi}_{2.0} \text{Sr}_{1.2} \text{Ca}_{1.0} \text{Cu}_{1.7} \text{O}_{6.9+x}$ .

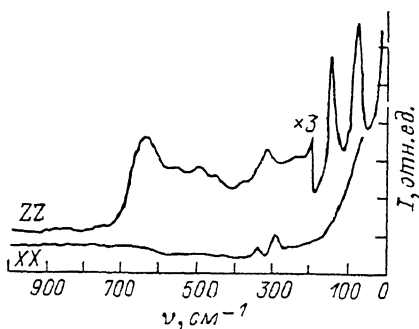


Рис. 2. СКР кристаллов  $\text{Bi}_{2.0} \text{Sr}_{1.2} \text{Ca}_{1.0} \text{Cu}_{1.7} \text{O}_{6.9+x}$  в ZZ- и XX- поляризациях при  $T=300$  К.

СКР кристаллов (2112) исследовались на тройном раман-спектрометре Z-24 (DILOR) с аргоновым лазером (мощность излучения  $\lambda = 5145$  Å на образце не превышала 100 мВт) при комнатной температуре в стоксовой и антостоксовой областях спектра в поляризованном свете: рассеяние от зеркальной грани (площадь 1—2 мм<sup>2</sup>), параллельной базисной плоскости кристалла, позволяло определить XX ( $YY$ )-компоненту, а от торца кристалла — ZZ-компоненту тензора поляризуемости. Полученные спектры приведены на рис. 2. В ZZ-поляризации, где спектры уверенно регистрировались начиная с 25 см<sup>-1</sup>, наблюдались линии 77, 142, 323, 464, 500 и  $\sim 650$  см<sup>-1</sup>. Можно выделить также очень слабые полосы в области частот  $\sim 240$ , 380 и 570 см<sup>-1</sup>. В XX-поляризации были обнаружены только две линии — 294 и 342 см<sup>-1</sup>. Следует отметить, что интенсивность и частотное положение ряда полос несколько менялись в зависимости от исследуемой точки на кристалле: в первую очередь это относится к широкой линии  $\sim 650$  см<sup>-1</sup>, частота которой варьировалась от 640 до 660 см<sup>-1</sup>, что связано, вероятно, с неоднородностью состава исследуемых образцов.

При интерпретации СКР кристаллов (2112) необходимо учитывать общие закономерности строения висмутовых ВТСП структур, которые отражаются и на СКР [1, 2]. Известно, что соединения  $\text{Bi}_2\text{Sr}_2\text{CaCu}_2\text{O}_{8+x}$  (2212) и  $\text{Bi}_2\text{Sr}_2\text{CuO}_{6+x}$  (2201) состоят из чередующихся в определенной последовательности плоскостей  $\text{CuO}_2$ ,  $\text{BiO}$ ,  $\text{SrO}$ , причем первая структура может быть переведена во вторую «вычитанием» одной плоскости  $\text{CuO}_2$  и атомов Ca, образующих единственную бескислородную плоскость [1].

<sup>2</sup> В дальнейшем эта структура будет обозначаться идеализированной формулой (2112).

Исходя из «плоскостного» строения висмутовых структур, можно предположить, что соединение  $\text{Bi}_2\text{SrCaCu}_2\text{O}_{7+x}$  отличается от  $\text{Bi}_2\text{Sr}_2\text{CaCu}_2\text{O}_{8+x}$  только отсутствием одной SrO-плоскости, т. е. структура (2112) также содержит  $\text{CuO}_2$ -плоскости и «мостиковые» атомы кислорода, характерные как для иттриевых  $\text{Y}_1\text{Ba}_2\text{Cu}_3\text{O}_{7-x}$  (123), так и для висмутовых (2212) и (2201) систем. Поэтому в исследованных нами СКР должны наблюдаться «характеристические» частоты трех колебаний [4, 5]: противофазных колебаний атомов кислорода в  $\text{CuO}_2$ -плоскостях (единственное колебание симметрии  $B_{1g}$  ( $XX, -YY$ ) и их синфазных колебаний (симметрия  $A_g$  ( $XX, YY, ZZ$ )), а также  $A_g$  ( $XX, YY, ZZ$ )-колебаний мостиковых атомов O в цепочке Cu—O—Cu(Bi) по оси Z. В ромбической иттриевой системе (123) эти колебания имеют частоты соответственно  $\sim 335$ ,  $435$  и  $500 \text{ cm}^{-1}$  [4–6]. Следует также отметить, что для любых ромбических кристаллов в поляризации ZZ активны лишь  $A_g$ -колебания, а  $B_{1g}$ -колебания проявляются только в базисных компонентах. Поэтому, учитывая поляризационные свойства и близость частот в СКР (2112) и (123), на рис. 2 можно выделить три линии, соответствующие описанным колебаниям. С противофазными колебаниями атомов O в  $\text{CuO}_2$ -плоскостях следует связать одну из двух линий, наблюдавшихся в поляризации XX, предположительно — более интенсивную, т. е.  $294 \text{ cm}^{-1}$ . Линия  $464 \text{ cm}^{-1}$  в поляризации ZZ обусловлена синфазными колебаниями этих же атомов, а валентным колебанием мостиковых атомов O по оси Z соответствует линия  $500 \text{ cm}^{-1}$ . Одна из двух оставшихся интенсивных высокочастотных линий в поляризации ZZ (323 или  $650 \text{ cm}^{-1}$ ) отвечает колебаниям по оси Z атомов O, расположенных в BiO-плоскостях.

Обсудим низкочастотную область СКР кристаллов (2112). Две наблюдавшиеся в ZZ-поляризации интенсивные линии  $77$  и  $142 \text{ cm}^{-1}$  можно связать с колебаниями тяжелых атомов по оси Z. В работе [1], где СКР кристаллов (2212) были получены только начиная со  $100 \text{ cm}^{-1}$ , наблюдалась одна интенсивная низкочастотная линия  $122 \text{ cm}^{-1}$ , которая связывалась с колебаниями атомов Bi. В этой же работе было показано, что в структуре (2212) атомы Ca, расположенные в высокосимметрических позициях ( $2/m$ ), не дают вклада в СКР 1-го порядка (так же как и атомы иттрия в (123)). Может оказаться, что в кристаллах (2112), где на одну формулярную единицу приходится по одному атому Ca и Sr, атомы Sr попадают в аналогичную высокосимметрическую позицию. Тогда с линиями  $77$  и  $142 \text{ cm}^{-1}$  следует связать колебания по оси Z атомов Bi (атомный вес 209) и Cu (атомный вес 63.5) соответственно. Однако при такой интерпретации трудно объяснить большую интенсивность низкочастотных линий, которая не характерна для внутриячееких оптических колебаний оксидных ВТСП соединений.

Возможны и другие подходы в интерпретации линий  $77$  и  $142 \text{ cm}^{-1}$ , не связанные с колебаниями отдельных атомов, но учитывающие специфику слоевого строения, а также дефектность структуры, характерную для большинства ВТСП кристаллов. В [2], где в СКР (2212) также наблюдались низкочастотные интенсивные линии  $64$ ,  $98$  и  $129 \text{ cm}^{-1}$ , было высказано предположение, что они могут быть обусловлены межслоевыми колебаниями. Можно рассмотреть и другие механизмы (В. С. Вихнин, частное сообщение). Принимая во внимание плоскостное строение исследуемых объектов, линии  $77$  и  $142 \text{ cm}^{-1}$  можно связать с изгибными колебаниями [7], наблюдавшимися в двухмерных структурах. С другой стороны, низкочастотные моды могут быть связаны с ангармоническими колебаниями кислорода в двухъядромном потенциале ( $\text{O}^{2-}$  — пустой узел), с квазилокальными колебаниями (в том числе гантельного типа) дырочных пар  $\text{O}^0$ ,  $\text{O}^- - \text{O}^-$ ,  $\text{O}^- - \text{Cu}^{3+}$ . Разделить вклад механизмов, связанных с изгибными и локальными колебаниями, представляется возможным при исследовании температурной зависимости спин-решеточной релаксации. Окончательную интерпретацию этих низкочастотных линий, как и некоторых других линий в СКР (2112), которые, в частности, могут быть ин-

дуцированы флуктуациями состава или различными дефектами, еще предстоит выяснить.

Авторы выражают благодарность А. А. Каплянскому, В. Ю. Мировицкому и А. Г. Панфилову за обсуждение результатов работы и ценные замечания.

### Список литературы

- [1] Cardona M., Thomsen C. et al. // Sol. St. Comm. 1988. V. 66. N 12. P. 1225—1230.
- [2] Farrow L. A., Greene L. H. et al. // Phys. Rev. B. 1988. V. 38. N 1. P. 752—753.
- [3] Durčok S., Nevřiva M., Matějkova L., Hejtmanek J., Vašek P., Šimečkova M., Pollert E., Tříška A. // Czech. J. Phys. B. 1989. in press.
- [4] Баженов А. В., Гаспаров Л. В., Кулаковский В. Д., Мисочко О. В., Осильян Ю. А., Тимофеев В. Б. // Письма в ЖЭТФ. 1988. Т. 47. № 3. С. 162—165.
- [5] Liu R., Thomsen C. et al. // Phys. Rev. B. 1988. V. 37. N 13. P. 7971—7974.
- [6] Лимонов М. Ф., Марков Ю. Ф., Поллерт Э., Тришка А. // Письма в ЖТФ. 1988. Т. 14. № 13. С. 1235—1238.
- [7] Лифшиц И. М. // ЖЭТФ. 1952. Т. 22, № 2. С. 471—478.

Физико-технический институт  
им. А. Ф. Иоффе АН СССР  
Ленинград

Поступило в Редакцию  
20 февраля 1989 г.

УДК 537.312.62

Физика твердого тела, том 31, в. 7, 1989  
Solid State Physics, vol. 31, № 7, 1989

## О ЗАВИСИМОСТИ $T_c(x)$ ДЛЯ $\text{La}_{2-x}\text{Sr}_x\text{CuO}_4$

M. B. Красинькова, B. Я. Мойжес

1. Недавно [1, 2] было экспериментально установлено, что максимум  $T_c(x)$ , наблюдаемый у  $\text{La}_{2-x}\text{Sr}_x\text{CuO}_{4-\delta}$  при  $x=0.15—0.20$ , нельзя объяснить увеличением концентрации вакансий кислорода  $\delta$  при легировании, как считалось раньше. У кристаллов, синтезированных под высоким давлением кислорода и имеющих  $\delta=0$ ,  $T_c$ , максимальная при  $x=0.2$ , быстро уменьшается при дальнейшем увеличении  $x$  и достигает нуля при  $x=0.32$  [1, 2]. В то же время у другого хорошо изученного купратного сверхпроводника (СП)  $\text{YBa}_2\text{Cu}_3\text{O}_{7-\delta}$   $T_c$  монотонно растет при увеличении степени окисления меди [3] и достигает максимума при  $\delta=0$ , т. е. когда формально среднее состояние окисления меди ( $\text{Cu}^{2+}, ^{3+}$ ) такое, при котором у  $\text{La}_{2-x}\text{Sr}_x\text{CuO}_4$   $T_c$  снижается до нуля. Парадоксально, что концентрация носителей тока и электропроводность у  $\text{La}_{2-x}\text{Sr}_x\text{CuO}_4$  продолжают увеличиваться с ростом  $x$  и после того, как  $T_c$  достигает нуля. Настоящая заметка посвящена обсуждению этого вопроса.

2. Можно считать экспериментально доказанным, что за СП купратов ответственны слои  $\text{CuO}_2$ , в которых спины ионов  $\text{Cu}^{2+}$  связаны сильным антиферромагнитным (АФ) взаимодействием ( $J_{ij} \approx 1000 \text{ см}^{-1}$ ) [4]. В направлении, перпендикулярном слоям, имеется более слабое АФ-взаимодействие, которое приводит к трехмерному (3D) антиферромагнетизму с  $T_N \approx 500 \text{ K}$  [5] у  $\text{YBa}_2\text{Cu}_3\text{O}_{7-\delta}$  и  $T_N \approx 240 \text{ K}$  у  $\text{La}_2\text{CuO}_4$  [4]. При введении в слои  $\text{CuO}_2$  носителей тока (дырок  $\text{Cu}^{3+}$ ) 3D АФ-порядок у  $\text{YBa}_2\text{Cu}_3\text{O}_{7-\delta}$  и  $\text{La}_2\text{CuO}_4$  исчезает, но остаются сильные двумерные АФ-флуктуации в слоях  $\text{CuO}_2$  [6].

Отметим важное различие между структурами  $\text{YBa}_2\text{Cu}_3\text{O}_{7-\delta}$  и  $\text{La}_2\text{CuO}_4$ . В структуре 1—2—3 парамагнитные ионы  $\text{Cu}^{3+}$ , находящиеся в разных слоях  $\text{CuO}_2$ , через ионы кислорода из слоев  $\text{BaO}$  образуют цепочки, параллельные оси  $C$ , по которым может распространяться зависящая от спина деформация электронного облака, что и приводит к 3D антиферро-